

**ОБ ОТЫСКАНИИ РЕШЕНИЙ СИСТЕМЫ, ОПИСЫВАЮЩЕЙ ПРОЦЕСС РАСПРОСТРАНЕНИЯ ТЕПЛА В НЕОГРАНИЧЕННОЙ ПЛАСТИНЕ, МЕТОДОМ РЯДОВ ТЕЙЛОРА\***

Рассмотрим систему, описывающую процесс распространения тепла в неограниченной пластине. Изменение температуры  $u$  происходит только в одном направлении  $x$  – по толщине пластины, в двух других направлениях  $y$  и  $z$  температура неизменна. Распределение температуры в начальный момент времени  $\tau = 0$  задано функцией  $\Gamma(x)$ :

$$u(0, x) = \Gamma(x).$$

Будем рассматривать действие источника тепла внутри пластины с удельной мощностью

$$w(\tau, u) = \Theta \sin \omega \tau e^{-2\beta(u^2 + u_a^2)},$$

где  $\Theta$ ,  $\omega$ ,  $\beta$  и  $u_a$  – константы, являющиеся характеристиками источника.

Материал пластины имеет плотность  $\rho = \text{const}$ , удельную теплоемкость  $c = \text{const}$  и теплопроводность  $\lambda = \text{const}$ .

Математическая модель теплового процесса имеет вид:

$$\frac{\partial u}{\partial \tau} = \frac{1}{\rho c} \left[ \lambda \frac{\partial^2 u}{\partial x^2} + w(\tau, u) \right]$$

при условиях

$$u(0, x) = \Gamma(x); \quad u(\tau, x_1) = u_{am} \cos \omega \tau; \quad u(\tau, x_2) = u_c = \text{const},$$

где  $x_1$  и  $x_2$  – границы пластины;  $u_{am} = \text{const}$ .

Вычислительный процесс предполагает работу с безразмерными величинами. Поэтому перейдем к безразмерной форме данной модели. Для этого будем использовать методику [1, с. 23 – 28].

Введем масштабы времени  $\tau_s$ , длины  $l_s$  и температуры  $u_s$ . Соответствующие симплексы имеют вид

$$\left\{ t = \frac{\tau}{\tau_s}, \chi = \frac{x}{x_s}, \xi = \frac{u}{u_s} \right\}.$$

Пусть  $\tau_s = \frac{1}{\omega}$ ,  $l_s = \sqrt{\frac{\lambda}{\rho c \omega}}$  и  $u_s = \frac{1}{\sqrt{\beta}}$ . Получаем

$$\begin{aligned} \frac{\partial \xi}{\partial t} &= \frac{\partial^2 \xi}{\partial \chi^2} + \theta \sin t e^{-2(\xi^2 + \xi_a^2)}, \\ \xi(0, \chi) &= \gamma(\chi); \\ \xi(t, a) &= \xi_{am} \cos t; \\ \xi(t, b) &= \xi_c, \end{aligned} \tag{1}$$

где  $\theta = \frac{\Theta}{\rho c \omega u_s}$ ;  $\xi_a = \frac{u_a}{u_s}$ ;  $\gamma(\chi) = \frac{\Gamma(l_s \chi)}{u_s}$ ;  $\xi_{am} = \frac{u_{am}}{u_s}$ ;  $\xi_c = \frac{u_c}{u_s}$ ;  $a = \frac{x_1}{l_s}$  и  $b = \frac{x_2}{l_s}$ .

Перейдем от дифференциального уравнения в частных производных к системе обыкновенных дифференциальных уравнений. Для этого по переменной  $\chi$  введем равномерную сетку с шагом  $h = \frac{b-a}{n}$ , т.е. рассмотрим множество

$$X_h = \{ \chi_i = a + ih, i = \overline{0, n} \}.$$

Обозначим через  $\Xi(t) = \begin{bmatrix} \xi_1(t) \\ \vdots \\ \xi_m(t) \end{bmatrix}$  приближенное решение задачи (1), где  $m = n-1$ , причем функция  $\xi_i(t)$  соответствует

$i$ -му элементу множества  $X_h$ ,  $\xi_0(t) = \xi(t, a)$  и  $\xi_n(t) = \xi(t, b)$ . Заменим производную по координате ее разностным аналогом

$$\left. \frac{\partial^2 \xi}{\partial \chi^2} \right|_{\chi=\chi_i} \sim \frac{\xi_{i+1} - 2\xi_i + \xi_{i-1}}{h^2}.$$

Получаем систему из  $m$  уравнений:

\* Работа выполнена под руководством д-ра физ.-мат. наук, проф. С.М. Дзюбы.

$$\begin{cases} \frac{d\xi_1}{dt} = f_1(t, \xi_1, \xi_2) + \theta \sin te^{-2(\xi_1^2 + \xi_a^2)}; \\ \frac{d\xi_2}{dt} = f(\xi_1, \xi_2, \xi_3) + \theta \sin te^{-2(\xi_2^2 + \xi_a^2)}; \\ \dots \\ \frac{d\xi_{m-1}}{dt} = f(\xi_{m-2}, \xi_{m-1}, \xi_m) + \theta \sin te^{-2(\xi_{m-1}^2 + \xi_a^2)}; \\ \frac{d\xi_m}{dt} = f_2(\xi_{m-1}, \xi_m) + \theta \sin te^{-2(\xi_m^2 + \xi_a^2)}; \end{cases} \quad (2)$$

где

$$\begin{aligned} f(\xi_{i-1}, \xi_i, \xi_{i+1}) &= \eta(\xi_{i+1} - 2\xi_i + \xi_{i-1}), \eta = \frac{1}{h^2}; \\ f_1(t, \xi_1, \xi_2) &= f(\xi_{am} \cos t, \xi_1, \xi_2); \\ f_2(\xi_{m-1}, \xi_m) &= f(\xi_{m-1}, \xi_m, \xi_c). \end{aligned}$$

Нам будет удобно систему (2) записывать в векторной форме

$$\frac{d\Xi}{dt} = A\Xi + F(t, \Xi), \quad (3)$$

где матрица  $A$  имеет трехдиагональный вид

$$A = \begin{bmatrix} -2\eta & \eta & 0 & 0 & 0 & \dots & 0 \\ \eta & -2\eta & \eta & 0 & 0 & \dots & 0 \\ 0 & \eta & -2\eta & \eta & 0 & \dots & 0 \\ \dots & \dots & \dots & \dots & \dots & \dots & \dots \\ 0 & 0 & 0 & \dots & 0 & \eta & -2\eta \end{bmatrix}.$$

Начальное условие для некоторого момента времени  $t_0$  обозначим через

$$\Xi_0 = \Xi(t_0) = \begin{bmatrix} \gamma(\chi_1) \\ \vdots \\ \gamma(\chi_m) \end{bmatrix}.$$

Решения системы (3) могут быть найдены методом рядов Тейлора, т.е. в классе аналитических функций

$$\Xi(t) = \sum_{k=0}^{\infty} \frac{1}{k!} \frac{d^k \Xi(t_0)}{dt^k} (t-t_0)^k, \quad (4)$$

как показано в работе [2].

Рассмотрим подробнее процесс отыскания решений с помощью пакета символьных вычислений Maxima 5.9.3 [3], развернутого в операционной системе Linux. Русскоязычное описание пакета Maxima приведено в [4].

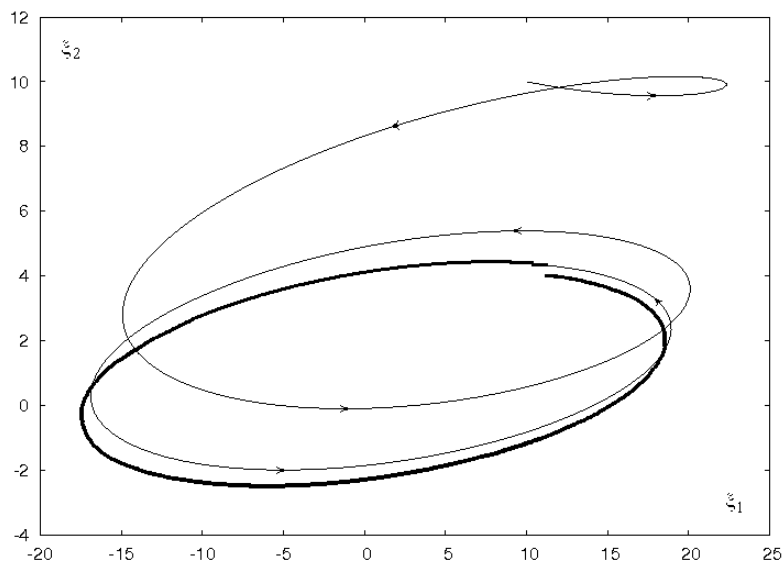
Сначала подготавливается файл с необходимыми командами пакета Maxima для осуществления в нем последовательного символьного дифференцирования правой части уравнения (3) с помощью консольной программы, разработанной авторами данной работы на языке C++, используя перенаправление ввода/вывода как интерфейс для взаимодействия с пакетом.

Обращаем внимание на то, что перед символьным дифференцированием в Maxima нужно выполнить `display2d:false$` (выводить результаты в виде строки) и `line1:400000$` (выводить результат в виде строки, длиной 400 000 символов) для того, чтобы можно было читать из файла результат дифференцирования (функция `diff()`), представленный в виде строки. Для удобной работы со строками использовалась библиотека STL языка C++ (класс `string`). Это необходимо для того, чтобы после дифференцирования в полученную строку вставить значения предыдущих производных.

Когда эта строка сформирована, она передается в Maxima для вычисления текущего члена ряда (4) (при этом используется функция `float()`; для вывода результата содержимого в ее скобках в виде числа с плавающей запятой). Заметим, что результат последней операции в Maxima хранит переменная `%`.

В качестве результата приведем фазовую траекторию (рис. 1), полученную для системы второго порядка, построенную на отрезке времени  $[t_0, t_1]$ . При этом  $\eta = 0,2$ ,  $\xi_{am} = 100$ ,  $\xi_c = 1$ ,  $\xi_a = 0$ ,  $\theta = 1$ ,  $t_0 = 0$ ,  $t_1 = 21$  и  $\Xi_0 = \begin{bmatrix} 10 \\ 10 \end{bmatrix}$ . Точность вычислений (оценка остаточного члена в форме Лагранжа)  $\varepsilon_L = 0,1$ . Жирной линией на рис. 1 выделен почти цикл. Время расчета на компьютере Intel Pentium IV – 2 часа. Однако, эффективность расчета планируется повысить за счет распараллеливания.

Заметим, что для заданной точности  $\varepsilon_L$  получается полином, степень которого равна 60 (из-за его громоздкости он был опущен).



**Рис. 1. Фазовая траектория системы второго порядка**

#### СПИСОК ЛИТЕРАТУРЫ

1. Кутателадзе, С.С. Анализ подобия в теплофизике / С.С. Кутателадзе. – Новосибирск : Наука, 1982. – 280 с.
2. Емельянов, С.В. Проблемы вычислений в распределенной среде: организация вычислений в глобальных сетях / С.В. Емельянов, А.П. Афанасьев. – М. : РОХОС, 2004. – 176 с.
3. <http://maxima.sourceforge.net>.
4. <http://old.tltsu.ru/archive/math/maxima/maxhelpb.ps>.

*Кафедра «Распределенные вычислительные системы»*